

УДК 539.3

## ГРАНИЧНО-ЭЛЕМЕНТНАЯ МЕТОДИКА НА ОСНОВЕ МОДИФИЦИРОВАННОГО МЕТОДА КВАДРАТУР СВЕРТОК В ДИНАМИЧЕСКИХ ЗАДАЧАХ УПРУГИХ ТЕЛ<sup>\*)</sup>

**А.А. Белов, Л.А. Игумнов, С.Ю. Литвинчук**

*Нижний Новгород*

Представлена схема метода граничных элементов в сочетании с методом квадратур сверток. Рассмотрены модификации метода квадратур сверток. Приведены результаты численных экспериментов, демонстрирующие достоинства полученных модификаций.

### **Введение**

Существующие методологии решения задач упругодинамики с использованием метода граничного элемента (МГЭ) укладываются главным образом в два возможных подхода [1–6]: прямой подход во временной области или подход с использованием обратного преобразования в области Лапласа (Фурье). Все численные формулы обращения зависят от надлежащего выбора их параметров, а все пошаговые процедуры требуют адекватного выбора шага по времени и, как правило, приемов улучшения устойчивости пошаговой формулировки [1, 7]. Появление метода квадратур сверток позволило сформулировать новый МГЭ-подход [7–10].

Представлена гранично-временная формулировка, использующая модификации метода квадратур сверток и опирающаяся на специфику поведения весов интегрирования при замене интеграла свертки квадратурной формулой.

### **1. Волновые потенциалы теории упругости**

Пусть  $S$  – замкнутая поверхность класса  $C^{1,\alpha}$  ( $\alpha > 0$ ), разделяющая  $n$ -мерное пространство  $R^n$  на области  $\Omega^+$  (внутреннюю) и  $\Omega^-$  (внешнюю). Смещение точки  $x = (x_1, \dots, x_n)$  упругой среды, занимающей области  $\Omega^+$  или  $\Omega^-$ , в момент времени  $t = x_{n+1}$  определяется вектор-функцией  $u = u(x, t) = u(x')$ , где  $x' = (x, t)$ , с компонентами  $u_i = u_i(x')$  ( $i = 1, \dots, n$ ). Кроме того, вводятся обозначения:  $G^\pm = \Omega^\pm \times R^+$ ,  $\Sigma = S \times R$ ,  $\Sigma^+ = S \times R^+$ ,  $R^+ = (0, \infty)$ .

Запаздывающие потенциалы простого и двойного слоев с  $n$ -компонентными плотностями  $\alpha(x')$ ,  $\beta(x')$  ( $x' \in \Sigma^+$ ) определяются соответственно формулами:

<sup>\*)</sup> Работа выполнена при поддержке РФФИ (проект 08-01-00500-а) и Министерства образования и науки РФ (грант Президента РФ для государственной поддержки ведущих научных школ РФ НШ-3367.2008.8, проект РНП.2.1.2.3556 по Аналитической ведомственной целевой программе Рособразования «Развитие научного потенциала высшей школы на 2006–2008 годы»).

$$(V\alpha)(x') = \int_{\Sigma^+} (U_j(x-y, t-\tau), \alpha(y, \tau)) e_j ds_y d\tau, \quad (1)$$

$$(W\beta)(x') = \int_{\Sigma^+} ((T_{v(y)}U_j)(x-y, t-\tau), \beta(y, \tau)) e_j ds_y d\tau, \quad (2)$$

где  $U(x, y, t)$  – матрица фундаментальных решений, столбцы которой  $U_j = 0$  при  $t < 0$  ( $j = 1, \dots, n$ ) удовлетворяют уравнениям Ламе;  $T_v$  – оператор сингулярного решения,  $v$  – единичная нормаль;  $(\cdot, \cdot)$  – вещественное скалярное произведение в  $n$ -мерном пространстве.

Оба потенциала удовлетворяют в  $G^\pm$  исходному уравнению и нулевым начальным условиям. При гладких плотностях справедливы формулы скачков потенциалов при переходе точки  $x'$  через  $\Sigma^+$  [11].

Предположим, что поверхность  $S$  разделена замкнутым контуром  $\Gamma \subset S$  на две связанные компоненты  $S_i$  ( $i=1, 2$ ) ненулевой площади, так что  $\Gamma = \partial S_i$  ( $i=1, 2$ ). В  $G^\pm$  рассмотрим уравнения трехмерной нестационарной теории упругости с нулевыми начальными данными. На части граничной поверхности  $\Sigma_1^+ = S_1 \times \mathbb{R}^+$  задаются смещения  $u^\pm = f^\pm$ , на  $\Sigma_2^+ = S_2 \times \mathbb{R}^+$  – граничные усилия  $T_v^\pm u = g^\pm$ . Решение задачи с учетом (1), (2) будем искать в виде:

$$u(x') = (W\beta)(x') + (V\alpha)(x'),$$

где плотности  $\beta$  и  $\alpha$  сосредоточены на  $\Sigma_1^+$  и  $\Sigma_2^+$  соответственно.

## 2. Гранично-элементная дискретизация

Чтобы ввести ГЭ-дискретизацию, рассмотрим регуляризованное уравнение без объемных сил и начальных деформаций [1], то есть:

$$\alpha_\Omega u_k(x, t) + \int_{+0}^t \int_{\partial\Omega} \{T_{ik}(x, y, t-\tau)[u_i(y, \tau) - u_i(x, \tau)] - U_{ik}(x, y, t-\tau)t_i(y, \tau)\} dS_x d\tau = 0,$$

$$x \in \partial\Omega.$$

Базовый процесс ГЭ-дискретизации состоит в разбиении поверхности  $\partial\Omega$  на  $N_E$  граничных элементов  $E_e$  ( $1 \leq e \leq N_E$ ) совокупностью четырехугольных и треугольных восьмиузловых биквадратичных элементов. При этом треугольные элементы рассматриваются как вырожденные четырехугольные, каждый из которых отображается на некий контрольный элемент  $\Delta_e$  (каждый  $\Delta_e$  – это либо квадрат  $\xi = (\xi_1, \xi_2) \in [-1, 1]^2$ , либо треугольник  $0 \leq \xi_1 + \xi_2 \leq 1, \xi_1 \geq 0, \xi_2 \geq 0$ ). Элемент  $E_e$  отображается на элемент  $\Delta_e$  с помощью уравнения:

$$y_i(\xi) = \sum_{l=1}^8 N^l(\xi) y_i^{B(k,l)}, \quad i = 1, 2, 3, \quad \xi \in \Delta_e,$$

где  $\beta(k, l)$  – глобальный номер узла, имеющего в  $k$ -м элементе локальный номер  $l$ ;  $N^l(\xi)$  – функции формы. В качестве функций формы выбраны квадратичные полиномы интерполяции.

Естественный базис  $(a_1, a_2)$ , метрический тензор  $g$  и единичная нормаль  $n$  на  $E_e$  запишутся как

$$a_\alpha(\xi) = \sum_{q=1}^N N_\alpha^q(\xi) x^q, \quad g_{\alpha\beta}(\xi) = a_\alpha(\xi) \cdot a_\beta(\xi),$$

$$J(\xi)n(\xi) = a_1 \wedge a_2, \quad J^2(\xi) = (g_{11}g_{22} - g_{12}^2)(\xi)$$

$$(\xi \in \Delta_e; \quad \alpha, \beta = 1, 2).$$

Неизвестные граничные поля  $(u, t)$  интегрируются через узловые значения  $u^k = u(z^k)$  и  $t^k = t(z^k)$  в интерполяционных узлах  $z^k$ . Множество интерполяционных узлов отличается от множества геометрических узлов, а множество интерполяционных функций не совпадает с множеством функций формы. Рассмотрим случай, называемый согласованным интерполированием (Р.В. Гольдштейн (1978)), где для аппроксимации граничных перемещений применим билинейные элементы, а для аппроксимации поверхностных сил – постоянные элементы. Получим следующие выражения граничных перемещений и поверхностных сил внутри элемента  $S_k$ :

$$u_i(y) = \sum_{l=1}^4 R^l(\xi) u_i^{\chi(k,l)}, \quad i = 1, 2, 3; \quad y \in S_k,$$

$$t_i(y) = t_i^{\chi(k,l)}, \quad i = 1, 2, 3; \quad y \in S_k.$$

Здесь  $R^l(\xi)$  – функции формы для линейного четырехугольного элемента.

В качестве узлов коллокации  $y^m$  будем выбирать узлы аппроксимации исходных граничных функций. В итоге формируется система линейных алгебраических уравнений:

$$\frac{1 - \alpha_\Omega}{2} u_i^m + \sum_{k=1}^N \sum_{l=1}^4 A_{ij}^{m,k,l} * u_j^{\chi(k,l)} = \sum_{k=1}^N B_{ij}^{m,k} * t_j^k, \quad (3)$$

$$\frac{1 - \alpha_\Omega}{8} u_i^m + \sum_{k=1}^N \sum_{l=1}^4 A_{ij}^{m,k,l} * u_j^{\chi(k,l)} = \sum_{k=1}^N B_{ij}^{m,k} * t_j^k, \quad (4)$$

где \* – знак операции Вольтерра по времени,  $N$  – число элементов границы.

Уравнения (3) записаны в узлах аппроксимации перемещений, уравнения (4) – в узлах аппроксимации усилий:

$$A_{ij}^{m,k,l} = \int_{-1}^1 \int_{-1}^1 [R^l(\xi) T_{ij}(x^m, y^k(\xi), t) - \delta_{\chi(k,l),m} T_{ij}^0(x^m, y^k(\xi)) \delta(t)] J^k(\xi) d\xi_1 d\xi_2,$$

$$B_{ij}^{m,k} = \int_{-1}^1 \int_{-1}^1 U_{ij}(x^m, y^k(\xi), t) J_k(\xi) d\xi_1 d\xi_2.$$

Для раскрытия оператора свертки использован метод квадратур свертки.

### 3. Метод квадратур свертки в гранично-элементном моделировании

Традиционная схема метода квадратур свертки строится на основе составной формулы трапеций с постоянным шагом [7–9]:

$$y = q * g, \quad y(n\Delta t) = \sum_{k=0}^n \omega_{n-k}(\Delta t) g(k\Delta t), \quad n = 0, 1, \dots, N,$$

$$\omega_n(\Delta t) = \frac{\Re^{-n}}{L} \sum_{l=0}^{L-1} \bar{q} \left( \gamma \Re e^{i l 2\pi L^{-1}} / \Delta t \right) e^{-i n l 2\pi L^{-1}},$$

$$\begin{aligned} & \alpha_k x_{n+k} + \alpha_{k-1} x_{n+k-1} + \dots + \alpha_0 x_n = \\ & = \Delta t [\beta_k (sx_{n+k} + g((n+k)\Delta t)) + \dots + \beta_0 (sx_n + g(n\Delta t))], \\ & \gamma(z) = \frac{\alpha_0 z^k + \dots + \alpha_k}{\beta_0 z^k + \dots + \beta_k}, \quad x(t, s) = \int_0^t e^{s(t-\tau)} g(\tau) d\tau, \end{aligned}$$

где  $\bar{q}$  – изображение по Лапласу функции  $q$ .

Трансформанты, как показывают численные эксперименты, могут иметь специфический вид, поэтому наиболее эффективным было бы использование алгоритма численного интегрирования с переменным шагом.

Разделим интервал интегрирования, обозначив узлы через  $\varphi_k$  ( $k = 1, 2, \dots, L$ ), причем  $\varphi_1 = 0, \varphi_L = 2\pi$ , тогда весовые коэффициенты примут вид:

$$\omega_0 = \frac{R^{-n}}{2\pi} \sum_{k=1}^{L-1} \int_{\varphi_k}^{\varphi_{k+1}} \operatorname{Re}[\bar{f}(\varphi)] d\varphi, \quad (5)$$

$$\omega_n = \frac{R^{-n}}{2\pi} \sum_{k=1}^{L-1} \int_{\varphi_k}^{\varphi_{k+1}} \bar{f}(\varphi) e^{-i n \varphi} d\varphi \quad \text{для } t > 0. \quad (6)$$

На интервале  $a = \varphi_k, b = \varphi_{k+1}$  возникают интегралы от быстро осциллирующей функции, причем  $\omega(b-a) \gg 1, f(\varphi)$  – гладкая функция. Такие функции могут быть хорошо приближены многочленами степени  $n$  лишь при  $n \gg \omega(b-a)/\pi$  [12]:

$$\int_a^b L_n e^{i\omega\varphi} d\varphi = S_n^\omega(f) = \frac{b-a}{2} e^{i\omega(b+a)/2} \sum_{j=1}^n D_j \left( \omega \frac{b-a}{2} \right) f(\varphi_j),$$

где

$$D_j(p) = \int_{-1}^1 \left( \prod_{k \neq j} \frac{\xi - d_k}{d_j - d_k} \right) e^{ip\xi} d\xi, \quad \varphi_j = \frac{b+a}{2} + \frac{b-a}{2} d_j, \quad j = 1, \dots, n, \quad p = \omega \frac{b-a}{2},$$

$$R_n(f) = \int_a^b (f(\varphi) - L_n(\varphi)) e^{i\omega\varphi} d\varphi,$$

$$R_n(f) \leq \int_a^b |f(\varphi) - L_n(\varphi)| d\varphi \leq D(d_1, \dots, d_n) \left( \max_{[a,b]} |f^{(n)}(\varphi)| \right) \left( \frac{b-a}{2} \right)^{n+1}.$$

Если подынтегральное выражение не является быстро осциллирующей функцией, то будем использовать соответствующую традиционную составную формулу типа Ньютона–Котеса.

#### 4. Численные эксперименты

Рассмотрим задачу о торцевом ударе силой  $p = 1$  Н/м<sup>2</sup> призматического тела с жестко закрепленным концом и параметрами материала: плотность  $\rho = 7850$  кг/м<sup>3</sup>, коэффициент Пуассона  $\nu = 0$ , модуль Юнга  $E = 2,11 \cdot 10^{11}$  Па. Задача решена в приведенных величинах ( $p = 1, \rho = 0,5, \nu = 0, E = 1$ ). Гранично-элементная модель построена следующим образом: выбрано 126 четырехугольных элементов на четверти равномерной сетки.

На рис. 1 приведены кривые перемещений, число временных точек  $N = 500$ ,

число узлов интегрирования  $L = 501$  на интервале от 0 до  $2\pi$  с постоянным шагом  $\Delta t = 0,01$ . Цифрой 1 маркировано решение, полученное с использованием традиционного метода квадратур сверток, цифрой 2 – решение, полученное с использованием линейной интерполянты функции  $f(\varphi)$  и с аналитическим вычислением экспоненты, цифрой 3 – решение, полученное с использованием квадратичной интерполянты функции  $f(\varphi)$  и с аналитическим вычислением экспоненты. На рисунке видно, что результат, полученный с использованием традиционного метода квадратур сверток, значительно лучше.

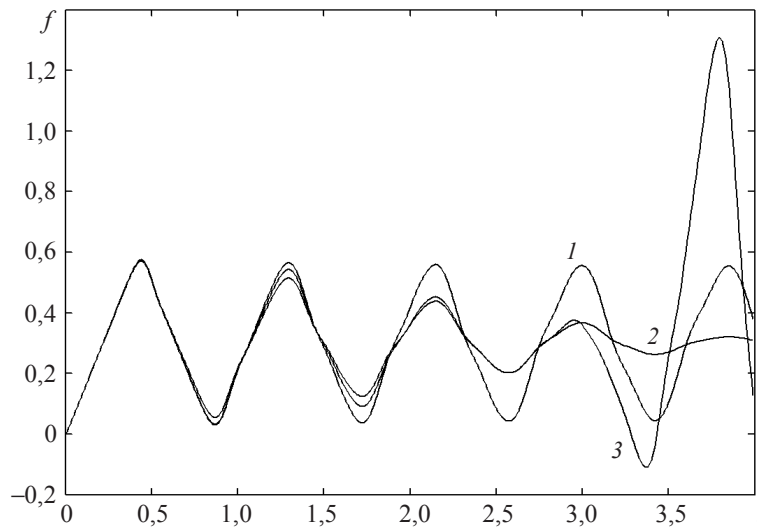


Рис. 1

На рис. 2 представлено решение, полученное с использованием традиционной составной формулы метода трапеций без веса с переменным шагом: на интервале от 0 до  $\pi/2$  взяли 125 узлов интегрирования, на интервале от  $\pi/2$  до  $3\pi/4$  – 20 узлов, на интервале от  $3\pi/4$  до  $2\pi$  – 125 узлов. Общее число точек интегрирования  $L = 270$ , временных точек  $N = 500$ , шаг  $\Delta t = 0,01$ . На рис. 2 это кривая с осцилляциями.

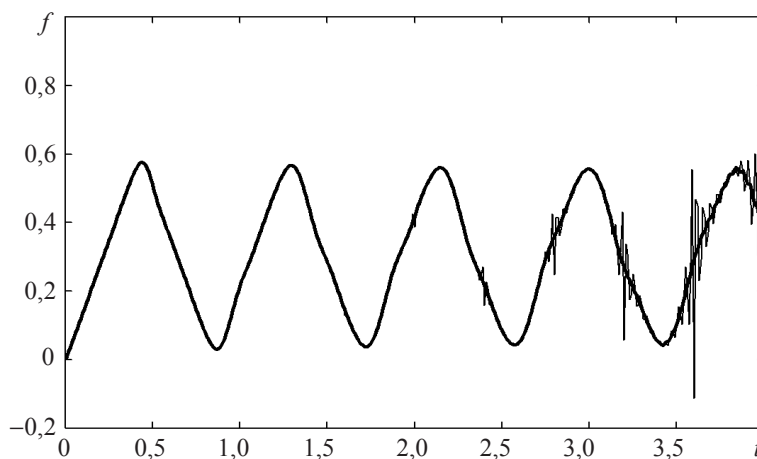


Рис. 2

Осцилляции можно погасить, применив предложенные комбинированные формулы. Решения, полученные по линейной и квадратичной комбинированным формулам, совпали. Им соответствует гладкая кривая на рис. 2. Эти решения при меньшем числе узлов интегрирования ( $L = 270$ ) совпадают с кривой 1 на рис. 1 ( $L = 501$ ).

Можно и дальше уменьшать число узлов интегрирования, получая при этом хорошие результаты. Однако если число точек по времени, которое равно  $N$ , начинает превышать  $2L$ , то картина колебательного процесса сильно изменяется – увеличивается амплитуда колебаний, а их частота уменьшается (для традиционного метода квадратур сверток такая картина появляется при  $N > L$ ). На рис. 3 приведены расчеты для следующего разбиения – на интервале от 0 до  $\pi/2$  – 70 узлов интегрирования, на интервале от  $\pi/2$  до  $3\pi/4$  – 20 узлов, на интервале от  $3\pi/4$  до  $2\pi$  – 70 узлов.

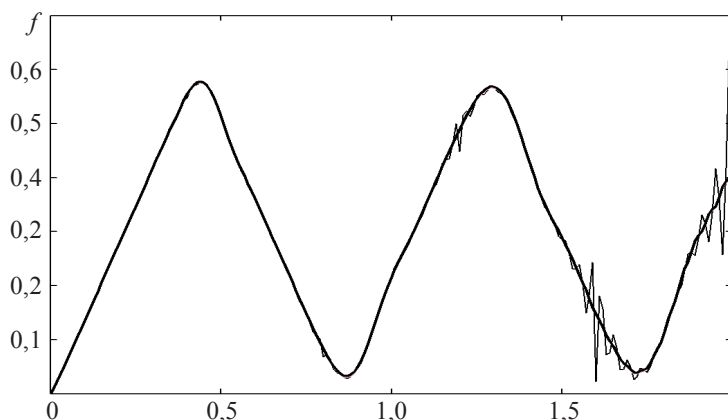


Рис. 3

Следует отметить, что традиционный вариант формулы квадратур сверток дает хорошие результаты за счет большого количества узлов интегрирования. Применение комбинированной формулы позволяет сохранить необходимую точность с использованием меньшего числа узлов интегрирования.

### Заключение

Показано, как более эффективно использовать метод граничного элемента в сочетании с методом квадратур сверток, учитывая характер поведения спектральных функций весовых множителей итоговой квадратурной формулы. При этом удается достигнуть более высокой точности численных результатов, проводя расчеты с переменным шагом по времени с уменьшением общего числа временных шагов по сравнению с традиционным подходом.

**Ключевые слова:** метод граничных элементов, модификация метода квадратур сверток, задачи упругодинамики.

### Литература

1. Баженов, В.Г. Методы граничных интегральных уравнений и граничных элементов в решении задач трехмерной динамической теории упругости с сопряженными полями / В.Г. Баженов, Л.А. Игумнов. – М.: Физматлит, 2008. – 352 с.
2. Banerjee, P.K. Advanced Development of BEM for Elastic and Inelastic Dynamic analysis

of Solids / P.K. Banerjee, S. Ahmad, H.C. Wang // In Industrial Application of Boundary Element Methods (Banerjee P.K., Wilson R.B., eds.) / Developments in Boundary Element Methods. – London: Elsevier, 1989. – P. 77–177.

3. Karabalis, D.L. Dynamic Analysis of 3-D Foundations / D.L. Karabalis, D.C. Rizos // In Boundary Element Techniques in Geomechanics (Manolis G.D., Davies T.G., eds.). – London: Elsevier, 1993.

4. Antes, H. The boundary integral approach to static and dynamic contact problems / H. Antes, P.D. Panagiotopoulos // Int. Series of Numerical Mathematics 108. – Birkhauser, Basel, 1992. – 313 p.

5. Beskos, D.E. Boundary Element Methods in Dynamic Analysis / D.E. Beskos // Appl. Mech. Review. – 1987. – Vol. 40. – № 1. – P. 1–23.

6. Beskos, D.E. Boundary element methods in dynamic analysis: Part II 1986–1996 / D.E. Beskos // Appl. Mech. Review. – 1997. – Vol. 50. – P. 149–197.

7. Schanz, M. Wave Propagation in Viscoelastic and Poroelastic Continua / M. Schanz. – Berlin Springer, 2001. – 170 p.

8. Lubich, C. On the multistep time discretization of linear initial-boundary value problems and their boundary integral equations / C. Lubich // Numerische Mathematik. – 1994. – № 67. – S. 365–389.

9. Lubich, C. Schneider R Time discretization of parabolic boundary integral equations / C. Lubich // Numerische Mathematik. – 1992. – V. 63. – S. 455–481.

10. Schanz, M. Boundary element analysis / M. Schanz, O. Steinbach. – Berlin Springer, 2007. – 354 p.

11. Новацкий, В. Теория упругости / В. Новацкий. – М.: Мир, 1975. – 872 с.

12. Бахвалов, Н.С. Численные методы / Н.С. Бахвалов, Н.П. Жидков, Г.М. Кобельков. – М.: Лаборатория Базовых Знаний, 2001. – 632 с.

[23.10.2008]

## **BOUNDARY-ELEMENT PROCEDURE BASED ON MODIFIED CONVOCATION QUADRATURE METHOD IN DYNAMIC PROBLEMS OF ELASTIC BODIES**

**A.A. Belov, L.A. Igumnov, S.Yu. Litvinchuk**

A scheme of a boundary-element method is given in combination with a convocation quadrature method. The modifications of the convocation quadrature method are considered. The results of numerical experiments showing the advantages of the obtained modifications are presented.

**Key words:** boundary element method, modification of the convocation quadrature method, problems of elastodynamics.